

Математическое моделирование  
Mathimatical simulation

517.958:539.3(3)

**МОДЕЛИРОВАНИЕ ПОЛЯ ДЕФОРМАЦИЙ И ЗОН  
ДИЛАТАНСИИ В УПРУГОМ  
ПОЛУПРОСТРАНСТВЕ С КОМБИНАЦИЕЙ  
ДВОЙНЫХ СИЛ**

**Боброва М.Е., Пережогин А.С.**

Институт космофизических исследований и распространения радиоволн ДВО РАН,  
684034, Камчатский край, с. Паратунка, ул. Мирная, 7

E-mail: drew72156@yandex.ru

Рассмотрена модель зон дилатансии в поле напряжений двойных сил в однородном, изотропном, упругом полупространстве. Выполнены расчеты компонент тензора напряжений и критерия дилатансии. Сопоставлены уровни относительных деформаций с областями дилатансии горных пород.

Ключевые слова: напряженно-деформированное состояние, дилатансия, модель Миндлина, деформации земной коры

© Боброва М.Е., Пережогин А.С., 2011

MSC 74B05:86-04

**MODELING OF STRESS FIELD AND DILATANCYS  
ZONES IN ELASTIC HALFSPACE OF DOUBLE  
FORCE**

**Bobrova M.E., Perezhogin A.S.**

Institute of Cosmophysical Researches and Radio Wave Propagation Far-Eastern Branch,  
Russian Academy of Sciences, 684034, Kamchatskiy Kray, Paratunka, Mirnaya st., 7

E-mail: drew72156@yandex.ru

A model of the dilatancy's zones in the stress field of the double forces in a homogeneous, isotropic elastic half-space was considered. Calculations of the stress tensor components and the criterion of dilatancy were performed. Relative deformations of Earth crust were interconnected with zone of dilatancy.

*Key words: stress field, dilatancy, the problem of Mindlin, deformation of Earth crust*

© Bobrova M.E., Perezhogin A.S. , 2011

## Введение

В сейсмоактивных зонах тектонические силы, возникающие на стыке блоков земной коры, формируют области повышенных тектонических напряжений, где процессы раскрытия трещин могут приводить к разрушению среды. Такого рода изменения в горных породах большинство сейсмологов связывают с состоянием нелинейного разуплотнения среды за счет образования трещин сдвига при достижении касательных напряжений некоторого порога. Поля напряжений и деформаций горных пород влияют на процессы в различных геофизических полях. В частности, уровень воды в скважинах, повышение интенсивности выделения подпочвенного радона, аномалии в геоакустических сигналах, электрическом и магнитном полях являются следствием изменения напряженно-деформированного состояния среды. Физико-математической моделью, которая может связывать все эти процессы, является модель зон дилатансии, разуплотнения горных пород за счет доминирования касательных напряжений над сжатием. В случае простой сосредоточенной силы зоны дилатансии исследованы в работе [1]. Моделирование в случае двойной силы направленной параллельно свободной границе проведено в работе [3].

В настоящей работе с помощью математического моделирования получено пространственное распределение зон дилатансии для комбинации трех двойных сил, описывающих точечный центр расширения [5]. В зависимости от параметров точечного источника происходит образование двух зон дилатансии: «очаговой» в окрестностях источника и «пограничной» около свободной поверхности. Исследовано поведение «пограничной» зоны при изменении интенсивности двойных сил и глубины источника напряжений. Так как прямое измерение напряжений в земной коре невозможно, то для практического обнаружения областей дилатансии будет полезно сопоставление критерия дилатансии с уровнем относительных деформаций земной коры. Представленные результаты моделирования дают возможность оценки размеров зон дилатансии по уровню относительных деформаций горных пород. Сопоставления результатов моделирования зон дилатансии и областей относительных деформаций при одних и тех же параметрах модели показывают, что максимальные сдвиговые деформации порядка  $10^{-5}$  соответствуют областям нелинейного разуплотнения.

## Постановка задачи

Рассмотрим модель земной коры в приближении упругого однородного изотропного полупространства. Полупространство совпадает с положительным направлением оси  $OZ$ . Тензоры напряжений  $\sigma_{ij}$  и деформаций  $\varepsilon_{ij}$  и вектор смещения  $u_i$  удовлетворяют системе уравнений:

$$\frac{\partial \sigma_{ij}}{\partial x_j} + X_i = 0, \quad (1)$$

$$\varepsilon_{ij} = \frac{1}{2} \left( \frac{\partial u_i}{\partial x_j} + \frac{\partial u_j}{\partial x_i} \right), \quad (2)$$

$$\sigma_{ij} = \lambda \varepsilon_{ii} \delta_{ij} + 2\mu \varepsilon_{ij}, \quad (3)$$

где  $X_i$  – двойная сила,  $\lambda, \mu$  – коэффициенты Ламэ,  $\delta_{ij}$  – символ Кронекера. Граничным условием для системы (1 - 3) является свободная граница  $z = 0$ :  $\sigma_{zx}|_{z=0} = \sigma_{zy}|_{z=0} = \sigma_{zz}|_{z=0} = 0$ .

Источник в виде комбинации трех двойных сил помещен в точку  $c$  на оси OZ (рис. 1). Интенсивность действия двойных сил одинакова для каждой из них. Общая интенсивность равна  $0$ . Для нахождения поля напряжений можно воспользоваться представлением Галеркина. Компоненты тензора напряжений в упругом изотропном полупространстве могут быть выражены через частные производные вектора Галеркина [2]:

$$\begin{aligned}
 \sigma_{xx} &= 2(1-\nu) \frac{\partial}{\partial x} \Delta X + \left( \nu \Delta - \frac{\partial^2}{\partial x^2} \right) \operatorname{div} \mathbf{H}, \\
 \sigma_{yy} &= 2(1-\nu) \frac{\partial}{\partial y} \Delta Y + \left( \nu \Delta - \frac{\partial^2}{\partial y^2} \right) \operatorname{div} \mathbf{H}, \\
 \sigma_{zz} &= 2(1-\nu) \frac{\partial}{\partial z} \Delta Z + \left( \nu \Delta - \frac{\partial^2}{\partial z^2} \right) \operatorname{div} \mathbf{H}, \\
 \sigma_{yz} &= (1-\nu) \left( \frac{\partial}{\partial z} \Delta Y + \frac{\partial}{\partial y} \Delta Z \right) - \frac{\partial^2}{\partial y \partial z} \operatorname{div} \mathbf{H}, \\
 \sigma_{zx} &= (1-\nu) \left( \frac{\partial}{\partial x} \Delta Z + \frac{\partial}{\partial z} \Delta X \right) - \frac{\partial^2}{\partial x \partial z} \operatorname{div} \mathbf{H}, \\
 \sigma_{xy} &= (1-\nu) \left( \frac{\partial}{\partial y} \Delta X + \frac{\partial}{\partial x} \Delta Y \right) - \frac{\partial^2}{\partial x \partial y} \operatorname{div} \mathbf{H},
 \end{aligned} \tag{4}$$

где  $X, Y, Z$  – координаты вектора Галеркина  $\mathbf{H}$ ;  $\sigma_{xx}, \sigma_{yy}, \sigma_{zz}, \sigma_{yz}, \sigma_{zx}, \sigma_{xy}$  – компоненты тензора напряжений;  $\Delta$  – оператор Лапласа,  $\nu$  – коэффициент Пуассона.

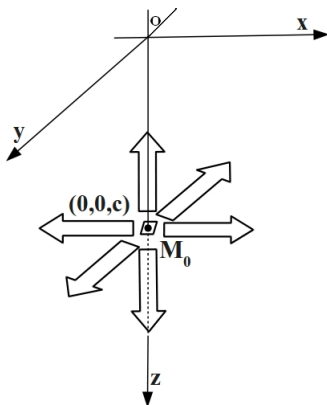


Рис. 1. Направление действия двойных сил  $X_i$  в однородном изотропном полупространстве.  $M_0$  – интенсивность двойных сил.

Используя 4 и суммы векторов Галеркина для двойных сил без момента [4] получены явные решения для тензора напряжений с помощью пакета аналитических вычислений Mathematica [7].

В работе [1] предложен критерий возникновения зон дилатансии в поле напряжений горных пород земной коры:

$$D_\tau = \tau - \alpha(P + \rho g z) - S \geq 0, \tag{5}$$

где  $\tau = \frac{\sqrt{3}}{2} \left( (\sigma_{xx} - \sigma_{yy})^2 + (\sigma_{yy} - \sigma_{zz})^2 + (\sigma_{zz} - \sigma_{xx})^2 + 6(\sigma_{xy}^2 + \sigma_{yz}^2 + \sigma_{zx}^2) \right)^{\frac{1}{2}}$  – интенсивность касательных напряжений,  $P = -\frac{\sigma_{xx} + \sigma_{yy} + \sigma_{zz}}{3}$  – давление,  $\alpha$  – коэффициент внутреннего трения,  $\rho$  – плотность породы,  $g$  – ускорение свободного падения,  $z$  – координата точки,  $Y$  – сцепление породы. В зонах, где  $D_\tau \geq 0$ , касательные напряжения доминируют над сжимающими напряжениями, и развивается дилатансия. Те зоны, где  $D_\tau < 0$ , являются зонами без нелинейного разуплотнения среды.

Для сопоставления с уровнем относительных деформаций в областях дилатансии выполнены расчеты максимальных касательных напряжений. Для выделения не только критических, но и всех других возможных уровней напряжений, воспользуемся величиной  $\sigma_{\max} = \max(|\sigma_1 - \sigma_2|, |\sigma_2 - \sigma_3|, |\sigma_3 - \sigma_1|)/2$  – критерием максимальных касательных напряжений, где  $\sigma_1, \sigma_2, \sigma_3$  – главные значения тензора напряжений. С помощью значения максимального касательного напряжения определим относительные деформации сдвига:

$$\epsilon_{\max} = \frac{(1 + \nu)}{E} \sigma_{\max} \quad (6)$$

В упругом полупространстве определим следующие уровни сдвиговых деформаций  $\epsilon_{\max}$   $10^{-8} - 10^{-7}; 10^{-7} - 10^{-6}; 10^{-6} - 10^{-5}; 10^{-5} <$ . Значение  $10^{-8}$  величины  $\epsilon_{\max}$  соответствует уровню приливной деформации земной коры, а значение больше чем  $10^{-5}$  – образованию области разуплотнения и достижению предела прочности пород. При численном моделировании установим уровень сдвиговых деформаций соответствующих области дилатансии.

## Численное моделирование

В случаях действия простой силы и двойных сил происходит образование двух зон дилатансии – «очаговой» в окрестностях приложения силы и «пограничной» в слое около свободной поверхности [1, 3]. Исследуем формирование зон дилатансии в зависимости от глубины и интенсивности рассматриваемого сосредоточенного источника.

Для того, чтобы представить форму зоны дилатансии, необходимо рассмотреть соответствующие сечения трехмерной области. На рис. 2 приведены результаты моделирования зон дилатансии по формуле (5) для различных интенсивностей источника и его глубины. Использовались следующие параметры земной коры:  $\nu=0.25$ ,  $\lambda = 3.48 \cdot 10^{10}$  Па,  $\mu=3.48 \cdot 10^{10}$  Па,  $\rho=2900$  кг/м<sup>3</sup>,  $g=9.8$  м/с<sup>2</sup>,  $Y=3 \cdot 10^6$  Па,  $\alpha=0.5$ . Визуализация результатов моделирования выполнена с помощью пакета построения графиков gnuplot [6]. В связи с симметричностью решений поля напряжений сечение по ОУ будет выглядеть аналогично сечению по ОХ.

В случае с интенсивностью  $M_0 = 5 \cdot 10^{20}$  Н·м на глубине  $s=10050$  м видно, что «очаговая» зона дилатансии соединяется с «пограничной». Для заданной интенсивности и глубины источника размер области дилатансии на земной поверхности рис. (2, б) составляет десятки километров.

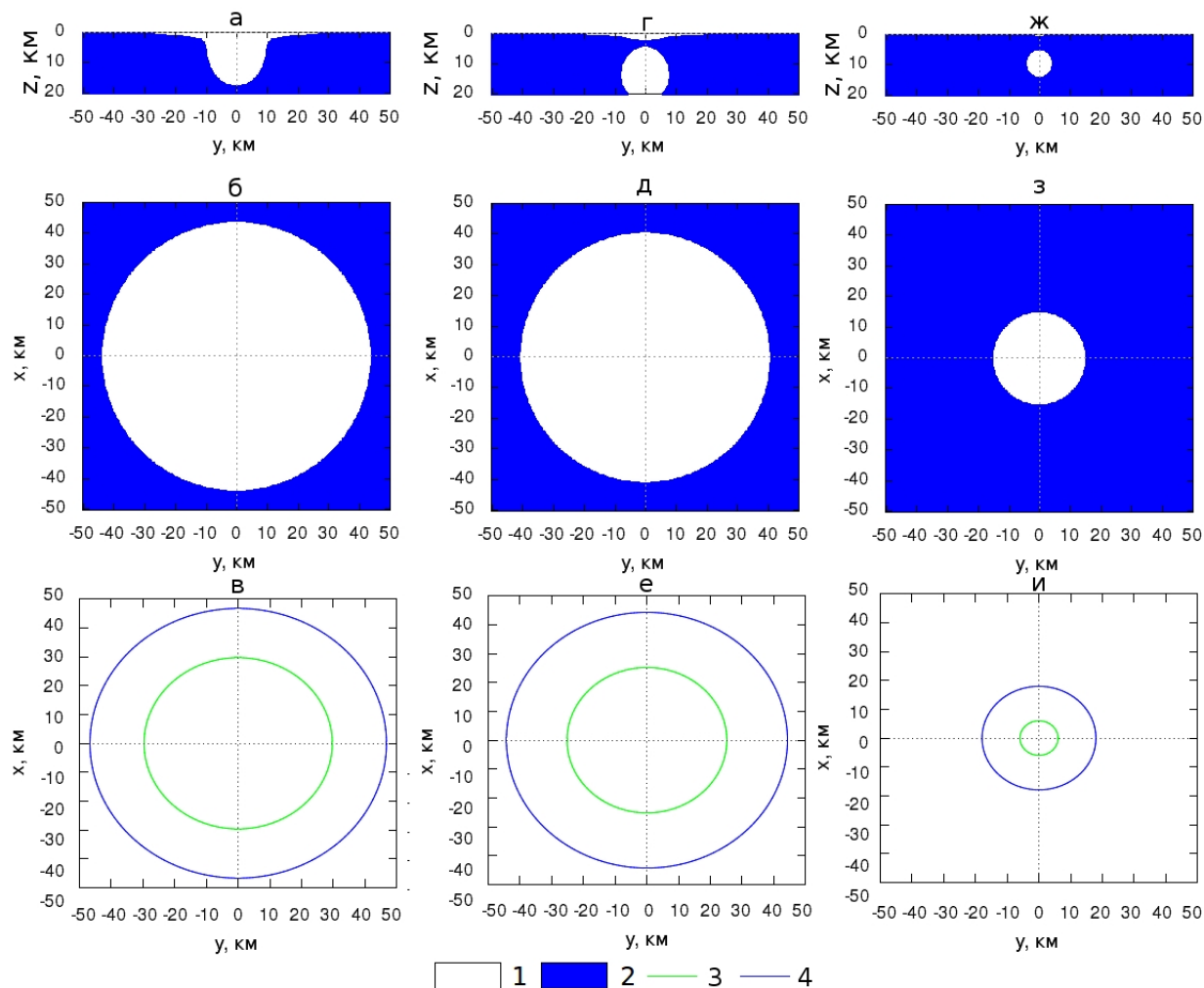


Рис. 2. Зона дилатансии в сечении  $x=0$  (а, г, ж), на свободной поверхности  $z=0$  (б, д, з); сдвиговые деформации  $z=0$  (в, е, и). 1 – зона дилатансии, 2 – область без нелинейного разуплотнения среды, 3 – относительная деформация  $10^{-4}$ , 4 – относительная деформация  $3 \cdot 10^{-5}$ .

На рис. (2, г, д) приведены результаты моделирования зон дилатансии по формуле (5) для источника с интенсивностью  $M_0 = 5 \cdot 10^{20}$  Н·м на глубине  $s=15050$  м.

В этом случае «очаговая» зона дилатансии не соединяется с поверхностью. При этом на поверхности происходит образование «пограничной» зоны дилатансии. С увеличением глубины источника «пограничная» область пропадает и появляется лишь в окрестности источника напряжений в точке  $(0,0,15050)$ . Рис. (2, ж, з) показывает результаты моделирования зон дилатансии по (5) на глубине  $s=10050$  м при  $M_0 = 5 \cdot 10^{19}$  Н·м. В этом случае зона дилатансии находится в области источника напряжений. Размер «пограничной» зоны незначительно отличается от размера «очаговой» зоны.

Результаты моделирования уровней относительных деформаций на рис. (2, в, е, и) показывают, что области дилатансии соответствуют уровню деформаций  $3 \cdot 10^{-5}$ . Таким образом, обнаружение дилатансионных эффектов происходит при относительной деформации близкой к разрушительным значениям для горных пород порядка  $10^{-5} - 10^{-4}$ .

## Заключение

Показано наличие области дилатансии на поверхности Земли для случая действия трех двойных сил. Протяженность «пограничной» зоны дилатансии в зависимости от интенсивности и глубины источника может составлять до десятков километров. «Пограничная» и «очаговая» зоны дилатансии могут соединяться между собой или не соединяться в зависимости от параметров модели. При этом связь между размерами зон дилатансии и параметрами модели - глубиной и интенсивностью источника, является нелинейной. При незначительном изменении этих параметров области нелинейного разуплотнения в приповерхностном слое земной коры могут не возникать.

Математическое моделирование поля деформаций показывает, что зоны дилатансии формируются при относительных деформациях порядка  $10^{-5}$ . При выбранных параметрах горных пород получено, что уровень сдвиговых деформаций равен  $3 \cdot 10^{-5}$ . Все это дает возможно с помощью инструментальных средств наблюдений, например лазерного деформографа, определять накопление напряжений в горных породах, формирующих области дилатансии в сейсмоактивных регионах.

## Литература

1. АЛЕКСЕЕВ А.С., БЕЛОНОСОВ А.С., ПЕТРЕНКО В.Е. О концепции многодисциплинарного прогноза землетрясений с использованием интегрального предвестника // Проблемы динамики литосферы и сейсмичности: Сб. науч. тр. ГЕОС. Вычислительная сейсмология. – 2001. – вып. 32. – С. 81–97.
2. НОВАЦКИЙ В. Теория упругости. – М.: Мир, 1975. – 302 с.
3. ПЕРЕЖОГИН А.С., ШЕВЦОВ Б.М. Модели напряженно-деформированного состояния горных пород при подготовке землетрясений и их связь с геоакустическими наблюдениями // Вычислительные технологии. – 2009. – Т. 14. – № 3. – С. 48–58.
4. MINDLIN R.D., CHENG D.H. Nuclei of Strain in the Semi-Infinite Solid // Journal of Applied Physics. – Vol. 21. – 1950. – P. 926–930.
5. OKADA Y. Internal deformation due to shear and tensile faults in a half-space // Bulletin of the Seismological Society of America. – 1992. – Vol. 82. – № 2. – P. 1018–1040.
6. <http://www.gnuplot.info>
7. <http://maxima.sourceforge.net/ru>

Поступила в редакцию / Original article submitted: 25.01.11